

УДК 656.11:658.012

# МАТЕМАТИЧЕСКОЕ МОДЕЛИРОВАНИЕ ПРОЦЕССА ДВИЖЕНИЯ ТРАНСПОРТНОГО ПОТОКА НА ПЕРЕГОНЕ МАГИСТРАЛЬНОЙ УЛИЦЫ

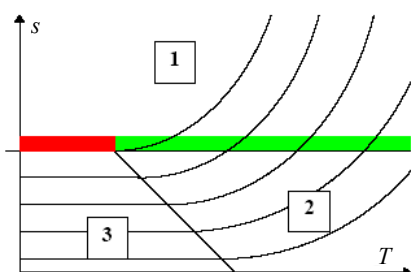
*Канд. техн. наук, доц. РОЖАНСКИЙ Д. В., асп. НАВОЙ Д. В.*

*Белорусский национальный технический университет*

Процесс движения транспортного потока по перегону носит нестационарный стохастический характер. Существуют различные подходы к описанию процесса движения транспортного потока на перегоне, однако традиционно используются линейные модели. Предлагается модель функционирования перегона, включающая в себя регулируемый перекресток, перегон и следующий регулируемый перекресток. Модель состоит из трех участков: рассасывания очереди перед стоп-линией; стабильного движения транспортного потока по перегону; взаимодействия со следующим светофорным объектом.

Процесс рассасывания очереди реального транспортного потока описывается большим числом факторов с широким спектром возможных значений. Очевидна трудность аналитического описания влияния и взаимовлияния всех факторов, поэтому исходную модель следует обосновывать на базе нескольких основных комплексных параметров.

На диаграмме время – путь (рис. 1) выделим три зоны [1]: 1 – свободного движения (нулевой плотности); 2 – движущейся очереди; 3 – неподвижной очереди (максимальной плотности потока).



*Рис. 1. Базовая модель процесса рассасывания*

Определим уравнения границы зон 1 и 2 как уравнения движения обратной волны в транспортном потоке

$$X_{06}(t) = \frac{I_a + I_b}{t_p(t)} t - I_b, \quad (1)$$

где  $I_a$  – длина автомобиля;  $I_b$  – расстояние между стоящими автомобилями;  $t_p(t)$  – временной интервал между троганиями следующих друг за другом автомобилей.

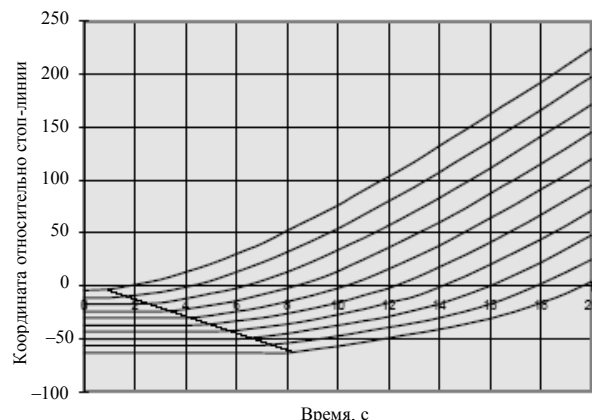
Граница зон 2 и 3 определяется законом движения первого автомобиля очереди:

$$v(t) = v_c(1 - e^{-\alpha t}); \quad (2)$$

$$X(t) = v_c \left( t - \frac{1 - e^{-\alpha t}}{\alpha} \right), \quad (3)$$

где  $v_c$  – скорость свободного движения автомобилей;  $\alpha$  – коэффициент разгонной динамики

В зоне движущейся очереди параметры движения автомобилей определены параметрами следующих за ними автомобилей (рис. 2). Для описания законов движения автомобилей в очереди (за исключением первого) применяются уравнения следования за лидером.



*Рис. 2. Зависимость путь – время для идеальных условий движения*

Таким образом, для определения временных интервалов прохождения заданного сечения

необходимо получить систему уравнений движения каждого автомобиля в очереди и разрешить ее относительно координаты заданного сечения. Решение данной задачи предлагается осуществлять численными методами с помощью ЭВМ.

В [2] отмечено влияние пространственного распространения очереди на интенсивность прибытия в очередь автомобилей. Действительно, с ростом очереди «ударная волна», т. е. линия изменения плотности и скорости (стоплиния), перемещается со скоростью  $v_{\text{сл}}$  навстречу направлению движения потока автомобилей. Для непрерывной модели скорость «ударной волны» в процессе роста очереди

$$v_{\text{сл}} = qI_a \quad (4)$$

В этом случае интенсивность прибытия автомобилей в очередь (очередь неподвижна и накапливается) определяется по формуле

$$q_n = q + v_{\text{сл}}K, \quad (5)$$

где  $K$  – плотность транспортного потока, авт./м,

$$K = \frac{q}{v}. \quad (6)$$

Интенсивность прибытия автомобилей в очередь равна:

$$q_n = \frac{q}{1 - K_{\text{сл}}}, \quad (7)$$

или

$$q_p = q - v_{\text{сл}} \frac{q}{v}. \quad (8)$$

Скорость движения определена аналогично формуле (2), тогда

$$v_{\text{сл}} = \nu(t) - q_p I_a, \quad (9)$$

а интенсивность прибытия

$$q_p = q - \nu(1 - e^{-\alpha t}) - (q_p I_a) \frac{q}{v}. \quad (10)$$

Для движущейся очереди интенсивность перепишется

$$q_p = \frac{qe^{-\alpha t}}{1 - K_{\text{сл}}}. \quad (11)$$

Момент трогания  $t_{\text{ов}}$  последнего остановившегося автомобиля:

$$q'_n(t_{\text{кр}} - t_{\text{ов}}) = q_{\text{ов}} t_{\text{ов}}; \quad (12)$$

$$t_{\text{ов}} = \frac{t_{\text{кр}}}{\frac{1 - K_{\text{сл}}}{q} - 1}, \quad (13)$$

где  $q_{\text{ов}} = \frac{1}{\tau_{\text{ов}}}$  – интенсивность обратной волны, величина, обратная интервалу трогания автомобилей с места, авт./с.

В рамках данной модели возможно разделение потерь транспортного потока по следующим факторам: задержки неподвижных автомобилей (задержки 1-го рода); задержки при разгоне-торможении (задержки 2-го рода). Итогом моделирования являются данные о моментах проезда автомобилями очереди заданных сечений проезжей части. В результате статистической обработки возможно получить оценки интервалов убытия, значения потока насыщения, потерянного времени.

Рассмотрим другую модель [3]. Предположим следующее.

1. Импульс интенсивности состоит из двух составляющих: интенсивности рассасывания очереди и интенсивности безостановочного движения.

2. Длина очереди является случайной величиной и распределена по нормальному усеченному закону распределения. Функция распределения вероятности имеет вид

$$F(x) = \left[ \frac{\frac{F_u(x-\mu)}{\sigma} - \tau}{1 - \tau} \right], \quad x \leq x_0, \quad (14)$$

где  $\frac{F_u(x-\mu)}{\sigma}$  – интеграл вероятности стандартизованного нормального распределения случайной величины с математическим ожиданием  $\mu$  и среднеквадратичным отклонением  $\sigma$ ;  $\tau$  – степень усечения,  $\tau = \frac{F_u(x_0 - \mu)}{\sigma}$ .

Таким образом, импульс интенсивности при рассасывании очереди определяется следующим образом:

$$q(t) = P_0(t)q_h(t) + (1 - P_0(t))q(t), \quad (15)$$

где  $P_0(t)$  – вероятность существования очереди в момент времени, не меньше  $t$ ;  $q_n(t)$  – величина потока насыщения главного направления;  $q(t)$  – величина интенсивности главного направления:

$$P_0(t) = P_0(t < t_0) \left[ \frac{F_u(t - t_0)}{\sigma_{t_0}} - \tau \right], \quad (16)$$

$$\tau = F_u \left( \frac{-t_0}{\sigma_{t_0}} \right), \quad (17)$$

где  $\bar{t}_0$  – среднее время рассасывания очереди,  $\bar{t}_0 = 8$  с;  $\sigma_{t_0}$  – среднеквадратичное отклонение времени рассасывания очереди,  $\sigma_{t_0} = 10$  с.

Существует несколько подходов к описанию движения транспортного потока на перегоне. Задается длительность цикла, а время проезда  $\tau$  любого автомобиля между двумя соседними регулируемыми перекрестками (исключая задержку у перекрестка) принимается имеющим нормальное распределение с плотностью

$$f(\tau) = \frac{1}{\sqrt{2\pi}\sigma} e^{-\frac{(\tau-\mu)^2}{2\sigma^2}}, \quad (18)$$

где  $\mu$ ,  $\sigma^2$  – среднее значение и дисперсия времени проезда автомобилем заданного участка дороги.

Если  $\rho_d(t)$  – интенсивность отправлений на входном пересечении, а  $\rho_a(t)$  – интенсивность потока прибытий на выходном пересечении, то с учетом уравнения (18) получаем

$$\begin{aligned} \rho_a(t) &= \int_0^\infty \rho_d(t-\tau) f(\tau) d\tau = \frac{1}{\sqrt{2\pi}\sigma} \times \\ &\times \int_0^\infty \rho_d(t-\tau) e^{-\frac{(\tau-\mu)^2}{2\sigma^2}} d\tau. \end{aligned} \quad (19)$$

Кривая интенсивностей отправлений  $\rho_d(t)$  разбивается на интервалы времени  $\Delta t$  и представляется ступенчатой функцией. Если  $\rho_i$  – величина  $\rho_d(t)$  за время  $i\Delta t \leq t < (i+1)\Delta t$ , то, сместив время на  $\mu$ , уравнение (19) переписывается следующим образом:

$$\rho_a(t+\mu) = \frac{1}{\sqrt{2\pi}\sigma} \sum_{i=-\infty}^{\infty} \int_{i\Delta t}^{(i+1)\Delta t} \rho_i e^{-\frac{(z-t)^2}{2\sigma^2}} dz =$$

$$= \sum_{i=-\infty}^{\infty} \rho_i \left[ P\left(\frac{(i+1)\Delta t - t}{\sigma}\right) - P\left(\frac{i\Delta t - t}{\sigma}\right) \right], \quad (20)$$

где  $P(t)$  – вероятность, определяемая как

$$P(t) = \frac{1}{\sqrt{2\pi}} \int_{-\infty}^t e^{-\frac{z^2}{2}} dz \quad (21)$$

Подобное аналитическое описание наиболее полно отражает процесс движения транспортного потока на перегоне. При дальнейшем описании транспортного потока автор [4] аппроксимирует поток отправлений периодическим потоком прямоугольных импульсов, а движение переднего фронта размытой волны транспортного потока по перегону рассматривает как линейный процесс.

Существующий метод предсказания «среднего» спада группы автомобилей при условии, что известна структура стартующего с предыдущего перекрестка потока, описывается следующим рекуррентным выражением [5]:

$$\rho_a(i+t) = (1-F)\rho_a(i+t-1) + F\rho(i), \quad (22)$$

где  $t$  – величина, кратная среднему времени движения по перегону;  $\rho_a(i)$  – прибывающий к перекрестку поток в  $i$ -м интервале;  $\rho(i)$  – интенсивность потока, покидающего предшествующий перекресток в интервале времени  $i$ ;  $F$  – слаживающий фактор.

Слаживающий фактор выбирается из условия минимума квадрата величин отклонений точек теоретической и экспериментальных кривых. Экспериментально установлено, что  $t = 1,8t_{cp}$ , где  $t_{cp}$  – среднее время движения по перегону,

$$F = 1/(1 + 0,5t). \quad (23)$$

Формула (22) успешно используется в модели «Транзит» [5].

Предлагается представить нормальное распределение времени проезда автомобилем перегона с плотностью, учитывающей среднее значение времени проезда перегона и дисперсию транспортного потока как функцию длины участка дороги. Это позволит более точно определить передний фронт размытой волны транспортного потока при подходе к следующему перекрестку и эффективный сдвиг включ-

чения зеленого сигнала. В отличие от определения линейности движения переднего фронта транспортного потока в классических моделях зависимость времени проезда транспортного потока и дисперсии от длины перегона позволяет внести характер нелинейности в рассчитываемый процесс. Условием пропуска транспортного потока на следующем регулируемом пересечении является нахождение кривой интенсивности в границах разрешающего сигнала с учетом потерянного времени на рассасывание очереди внепачковых автомобилей

$$t_{kp} + t_n \leq f(\tau) \leq C, \quad (24)$$

где  $t_{kp}$  – продолжительность горения запрещающего сигнала;  $t_n$  – потерянное время;  $C$  – продолжительность цикла. Длительность зеленого сигнала  $T_n = C - (t_{kp} + t_n)$ . Тогда импульс интенсивности на следующей стоп-линии

$$\rho_a(t) = \frac{1}{\sqrt{2\pi}\sigma} \int_{t_{kp}+t_n}^C \rho_i e^{-\frac{(\tau-\mu)^2}{2\sigma^2}} d\tau. \quad (25)$$

Эффективный сдвиг включения зеленого сигнала можно определить как разность между суммой точки его включения на втором перекрестке и передним фронтом импульса интенсивности основного транспортного потока. Причем передний фронт импульса интенсивности является функцией длины перегона, состояния проезжей части, внешних воздействий и определяется на основании экспериментальных данных для конкретных условий движения. При определении эффективного сдвига включения зеленого сигнала необходимо также учитывать интенсивность внепачковых автомобилей, прибывающих к стоп-линии за время  $T$ . Если рассматривать вероятностную модель, то длина очереди, скопившейся у стоп-линии, является случайной величиной и распределена по нормальному усеченному закону распределе-

ния по (14). Время рассасывания очереди определяется по (13). Установлено, что наряду с кусочно-линейной аппроксимацией распределения времени рассасывания очереди следует использовать вероятностную модель. Тогда эффективный сдвиг является суммой времени, необходимого для рассасывания очереди и сдвига времени включения разрешающего сигнала между двумя соседними пересечениями.

## ВЫВОД

Использование принципа нелинейности поведения транспортного потока в предложенной модели функционирования перегона на всех трех участках позволяет более точно описать алгоритмы магистрального управления транспортными потоками и определить управляющие воздействия путем уточненной корректировки планов координации и схем организации дорожного движения на регулируемых объектах в составе автоматизированных систем управления дорожным движением.

## ЛИТЕРАТУРА

- Никурадзе, Н. Ш.** Исследование режимов светофорного регулирования на сложных пересечениях в одном уровне: дис. ... канд. техн. наук: 656.11 / Н. Ш. Никурадзе. – М., 1980. – 162 с.
- Павлович, А. А.** Методы повышения эффективности управления транспортными потоками на регулируемых пересечениях в городах: дис. ... канд. техн. наук: 656.11 / А. А. Павлович. – М., 1988. – 214 с.
- Важник, Ю. П.** Разработка и применение нелинейной модели убытия автомобилей из очереди при светофорном регулировании: дис. ... канд. техн. наук: 656.11 / Ю. П. Важник. – М., 1998. – 123 с.
- Иносэ, Х.** Управление дорожным движением / Х. Иносэ, Т. Хамада; пер. с англ. – М.: Транспорт, 1983. – 248 с.
- Robertson, D.** Transyt method for area traffic control / D. Robertson // Traffic Eng. Control. – 11.06.1969.

Поступила 6.06.2005